

طراحی کنترل‌کننده‌ی فازی بهینه‌شده برای کاهش پاسخ سازه در برابر نیروهای زلزله

حسام الدین مشکوه رضوی (دانشجوی دکترا)

هاشم شریعت‌مدار^{*} (دانشیار)

دانشکده‌ی هندسی عمران، دانشگاه فردوسی مشهد

با توجه به بررسی سوابق پژوهشی، تاکنون مطالعات قابل توجهی در بهکارگیری الگوریتم‌های فراکوشی برای بهینه‌سازی کنترل‌کننده‌ی فازی بر روی سازه‌های مجهز به ATMD صورت نگرفته است، لذا انجام پژوهش با تمرکز بر بهینه‌سازی کنترل‌کننده‌های فازی الزامی به نظر می‌رسد. این نوشتار به بررسی کاربرد میراگر جرمی تنظیم‌شده‌ی فعال (ATMD) برای کنترل پاسخ لرزه‌ی یک سازه‌ی واقعی ۱۱ طبقه پرداخته است. نیروی کنترل فعال از ترکیب کنترل‌کننده‌ی منطق فازی (FLC) و الگوریتم بهینه‌سازی ازدحام ذرات (PSO) به دست آمده است. این کنترل‌کننده‌ی فازی بهینه‌شده، PSFLC نامیده شده است. در این مطالعه، معیار بهینه‌سازی، کمینه‌کردن تغییرمکان بام سازه است. با توجه به نتایج به دست آمده از بهینه‌سازی برای ۴ زلزله‌ی مرجع، کنترل‌کننده‌ی PSFLC با ضرایب عمومی معرفی شده است. عملکرد کنترل‌کننده‌ی پیشنهادی (PSFLC) برای زلزله‌های مختلف ارزیابی و تغییرمکان و جذر مجموع مرباعات تغییرمکان بام سازه (RMS) با کنترل‌کننده‌های PSFLC و FLC محاسبه و با یکدیگر مقایسه شده است. نتایج نشان می‌دهد، در حالی که نیروی کنترل پیشنهادی در هر دو کنترل‌کننده اختلاف چندانی با هم ندارند، کنترل‌کننده‌ی PSFLC تغییرمکان و RMS تغییرمکان بام سازه را ۱۰ الی ۳۰ درصد بیشتر از کنترل‌کننده‌ی FLC کاهش می‌دهد. بنابراین کنترل‌کننده‌ی فازی بهینه‌شده (PSFLC) جایگزینی برای کنترل‌کننده‌ی فازی معمولی (FLC)، بهمنظور کاهش بیشتر پاسخ لرزه‌ی سازه‌ها پیشنهاد می‌شود.

shariat.madar@um.ac.ir
hessam-meshkat@yahoo.com

واژگان کلیدی: میراگر جرمی تنظیم‌شده‌ی فعال، کنترل‌کننده‌ی منطق فازی، الگوریتم بهینه‌سازی ازدحام ذرات، کاهش پاسخ تحریک زلزله.

۱. مقدمه

یک سازه (مد اول)، تنظیم می‌شود؛ به‌طوری که با پاسخ غیرهم‌فاز خود نسبت به حرکت سازه، انرژی ارتعاشی را مستهلك کند. پژوهشگران بسیاری بر روی تنظیم پارامترهای بهینه‌ی TMD مطالعه کرده‌اند.^[۱-۴] و این پژوهش‌ها همچنان نیز ادامه دارد.^[۵-۸] از آنجایی که TMD با یک بسامد مشخص تحریک می‌شود، هنگامی که بسامد اصلی ارتعاش با بسامد میراگر متفاوت باشد، اثر بخشی TMD کم می‌شود. هم‌چنین هنگامی که سازه‌ها بلندتر می‌شوند، برای کاهش پاسخ آن‌ها به TMD با وزن بیشتری نیاز است. TMD سنگین‌تر به فضای بیشتری برای حرکت نیاز دارد، که این کاربرد TMD را غیراقتصادی می‌سازد. تلاش‌های بسیاری برای بالا بردن ظرفیت TMD انجام شده است، که از جمله می‌توان به قرارگیری یک نیروی کنترل فعال، که بین سازه و TMD فوار می‌گیرد، اشاره کرد. این سیستم کنترلی جدید را میراگر جرمی تنظیم شده فعال (ATMD)^[۲] می‌نامند. توانایی این سیستم بر روی حرکت طبیعی جرم تنظیمی استوار است، تا بخش اعظم پاسخ سازه کاهش یابد. نیروی فعال توسط یک جک هیدرولیکی برای کاهش بیشتر پاسخ سازه بهکار گرفته

امروزه ساخت انواع سازه‌های بلند تجاری، اداری، توریستی، و تفریحی در سراسر دنیا به سرعت رو به افزایش است. این سازه‌ها به علت اینکه عمدها لاغر هستند، در برابر نیروهای جانبی باد و زلزله، ارتعاشات زیادی دارند، که منجر به سلب آسایش ساکنین آن می‌شوند. در ۴۰ سال اخیر، انواع مختلفی از سیستم‌های کنترل سازه‌ها (غیرفعال، نیمه‌فعال، فعل و ترکیبی) برای کاهش ارتعاشات وارد شده به سازه‌ها، ناشی از این نیروهای جانبی به کار گرفته شده است. یکی از مؤثرترین این ابزارها، که توجه بسیاری از پژوهشگران را به خود جلب کرده است، میراگر جرمی تنظیم شده‌ی غیرفعال (TMD)^[۱] است. TMD از یک جرم کوچک تشکیل شده است، که با کمک یک فنر و یک میراگر به بام سازه (قسمتی از ساختمان که بیشترین حرکت را دارد)، متصل می‌شود. یک TMD معمولاً^[۳] مبدأ اساس مدل اصلی ارتعاشی

* نویسنده مسئول

تاریخ: دریافت ۹، ۱۳۹۲، / اصلاحیه ۹، ۱۳۹۳، / پذیرش ۴، ۱۳۹۳.

می شود. جرم ATMD، در مقایسه با TMD بسیار کوچکتر است. مطالعات تئوری ^۵ مقایسه شده و این نتیجه به دست آمد که کنترل کننده منطق فازی پاسخ سازه را بهتر از کنترل کننده PD کاهش می دهد. همچینین برخی پژوهشگران، ^[۲۳، ۲۴] از کنترل کننده فازی نوع دو بازه بی (IT2FLC) ^۶ برای تولید نیروی کنترل فعال در ATMD استفاده کرده و دریافت آن را کنترل کننده ذکرشده، که قادر به درنظر گرفتن عدم قطعیت ها در پایگاه قواعد فازی است، عملکرد بهتری در برابر بارهای زلزله دارد و پاسخ سازه را بیشتر از حالتی که از کنترل کننده فازی معمولی استفاده می شود، کاهش می دهد. در پژوهش دیگری ^[۲۵] نیز از ATMD و کنترل کننده فازی، برای کاهش ارتعاشات یک سازه بلند در برابر نیروهای باد استفاده شده است. در پیشتر پژوهش های ذکرشده، که در آن ها از کنترل کننده فازی به عنوان الگوی کنترل استفاده شده است، توابع عضویت متغیرهای رودی و خروجی با استفاده از روش سعی و خطاب تعیین می شوند. روش مذکور قطعاً منجر به پاسخ های بهینه نمی شود. برخی از پژوهشگران از روش های بهینه سازی فرکاوشی برای بهبود عملکرد کنترل کننده فازی استفاده کرده اند. در پژوهش دیگری ^[۲۰] (۴)، برای کنترل پاسخ سازه ^۷ طبقه بی معیار تحت تحریک باد از یک ATMD استفاده شد و نیروی کنترل در حالی از الگوریتم منطق فازی به دست آمد، که از الگوریتم زنتیک برای بهینه سازی سیستم کنترل و پارامترهای ATMD استفاده شده است. ^[۱۶] همچنین در پژوهش ذکرشده نشان داده شده است که استفاده از پارامترهای شتاب و سرعت با توابع گوسی، به عنوان متغیرهای رودی کنترل فازی، باعث کاهش پیشتر پاسخ سازه می شود. برخی پژوهشگران ^[۲۰] (۷)، نیز از ترکیب کنترل کننده منطق فازی و الگوریتم زنتیک (GFLC) برای تولید نیروی کنترل در ATMD استفاده کردن و کنترل کننده ترکیبی خود را بر روی یک سازه واقعی ^{۱۱} طبقه قرار داده و دریافت آن را کنترل کننده نمود. PSO در مقایسه با کنترل کننده LQR پاسخ سازه را بیشتر کاهش می دهد. این در حالی است که کنترل کننده GFLC نسبت به LQR به نیروی کنترل بیشتر نیازمند است.

در مقایسه با الگوریتم زنتیک (الگوریتمی که در بهینه سازی سیستم های فازی زیاد به کار رفته است)، می توان از سایر الگوریتم های فرکاوشی الگوریتم ازدحام ذرات (PSO) نیز استفاده نمود. PSO مزیت های زیادی از جمله پیاده سازی آسان، سرعت بالای همگرایی، و نیاز به زمان محاسباتی کمتر برای رسیدن به پاسخ بهینه دارد. این الگوریتم در پژوهشی در سال ^{۱۹۹۵} ارائه شده است. ^[۱۷] PSO از حرکت طبیعی دسته جمعی پرندگان که به یک نقطه نامعلوم مهاجرت می کنند، نشأت گرفته و از آن برای بهینه سازی سیاری از مسائل مهندسی استفاده شده است. برخی پژوهشگران ^[۲۰] (۹)، نیز در پژوهش خود از PSO برای بهینه سازی پارامترهای ATMD استفاده کرده اند. ^[۸]

در این پژوهش، یک کنترل کننده پیشنهادی جدید با نام PSFLC معرفی شده است. PSFLC از ترکیب الگوریتم فازی و PSO برای تولید نیروی کنترل استفاده می کند. از PSO برای بهینه سازی پارامترهای کنترل کننده فازی، که بر روی یک ATMD که در بام یک سازه ^{۱۱} طبقه عمل می کند، استفاده شده است. معيار بهینه سازی، کمینه کردن بیشینه تغییر مکان با مساحت سازه است. در این نوشتار ابتدا پارامترهای سیستم فازی با استفاده از الگوریتم PSO برای هر یک از زلزله های معروف شده توسط اجمان بین المللی کنترل سازه ها (Kobe، Northridge، El-Centro و Hachinohe) بهینه شده و سپس با استفاده از نتایج به دست آمده و به کارگیری مجدد الگوریتم PSO، پارامترهای کنترل کننده PSFLC با نام پارامترهای عمومی معرفی شده است. توانایی کنترل کننده معرفی شده در کاهش پاسخ سازه ها، برای انواع زلزله های میدان - دور و میدان - نزدیک بررسی شده است. پاسخ سازه کنترل شده با ATMD توسط کنترل کننده PSFLC با نتایج حاصل از کنترل کننده

می شود. جرم ATMD، در مقایسه با TMD بسیار کوچکتر است. مطالعات تئوری ^۷ و آزمایشگاهی زیادی بر روی ATMD برای کاهش پاسخ سازه ها تحت ارتعاشات باد و زلزله انجام شده است. در پژوهشی در سال ^{۱۹۷۳} ^[۱۹] عملکرد یک نیروی فعال بر روی یک TMD به صورت تئوری مطالعه شد و میراگر و فنر متصل به TMD با یک جک هیدرولیکی جایگزین شد. در پژوهش دیگری در سال ^{۱۹۷۹} ^[۱۰] به عنوان اولین پژوهش، امکان کاربرد یک ATMD در یک پروژه واقعی مهندسی عمران مطالعه شده است. برخی پژوهشگران ^[۱۱] نیز نظریهی Lund را به کار گرفته و آن را گسترش داده و از کنترل بهینه مرتباً دوم خطی (LQR) ^۸ برای وارد کردن نیروی کنترل به استفاده کرده اند. برای اولین بار در دنیا در سال ^{۱۹۹۱} ^[۱۲] در پژوهش دیگری ^[۱۳] برای اولین استفاده ATMD برای کاهش پاسخ یک سازه واقعی ^{۱۰} طبقه، که تحت نیروهای خارجی زلزله و طوفان قرار داشت، استفاده شده است. همچنین در سال ^{۱۹۹۲} روش پیشنهاد شده است که در آن پارامترهای ATMD و ضرایب نیروی کنترل به طور هم زمان در حوزه بسیار بسیار بدهند. در پژوهش دیگری ^[۱۴] در پژوهش دیگری ^[۱۹۹۶] ^[۱۵] نیز یک ATMD با ضرایب کنترلی کامل برای یک سازه، که مد اول آن به صورت یک سازه واقعی مدل شده بود، طراحی شد. برخی پژوهشگران نیز در مطالعه خود با استفاده از آنالیز پارامتری پاسخ سازه، روش جدیدی را برای طراحی ATMD پیشنهاد کرده و آنالیزهای انجام شده آنها نشان داده است که روش کنترلی پیشنهادی، آنها شتاب سازه را در مقایسه با روش LQR، پیشتر کاهش می دهد. ^[۱۶] در تمامی مطالعاتی که تاکنون انجام شده است، عمدتاً ضرایب نیروی کنترلی و پارامترهای میراگر جرمی تنظیم شده (سختی و میراگر) برای بارگذاری های مختلف باد و زلزله بهینه شده است. برای پیدا کردن پارامترهای بهینه ذکرشده، یا پاسخ سازه و یا نیروی کنترل فعال کمینه می شوند. روش های مورد استفاده معمولاً به محاسبات ریاضی قابل توجهی نیاز دارند و عمدتاً زمان بر هستند. در سال های اخیر، استفاده از الگوریتم های نوین، مانند منطق فازی برای تولید نیروی کنترل رواج یافته است. ^[۱۷] در پیشنهادی منطق فازی برای اولین بار در سال ^{۱۹۷۰} مطرح شده است. ^[۲۰] از مهم ترین مزایای کنترل کننده منطق فازی، پیاده سازی بسیار ساده ای آن است، که مدل سازی آن به روابط پیچیده بین تغییرات می زند و برخلاف سایر الگوریتم های کنترلی کننده منطق فازی می تواند در مواجه با انواع عدم قطعیت های موجود در سازه و بارگذاری، عملکرد قابل قبول داشته باشد. تئوری منطق فازی، نیروی کنترل فعال را با استفاده از دانش تجربی بشر تخمین می زند و برخلاف سایر الگوریتم های کنترلی به اطلاعات رودی زیادی نیاز ندارند. در پژوهشی در سال ^{۱۹۹۸} ^[۱۸] برای اولین بار به بررسی عملکرد کنترل کننده فازی بر روی یک ATMD، برای کنترل پاسخ سازه ^۳ طبقه می از بزرگی می تواند در مواجه با انواع عدم قطعیت های موجود در نیروی زلزله فشار گرفته بود، برداخته، ^[۲۱] و نیروی کنترل را از دو روش کنترلی مرتباً دوم گوسی (LQG) ^۹ و منطق فازی محاسبه کرده و دریافت آن را کنترل کننده دیگری LQG دارد. پژوهشگران ^[۱۹] نیز می توانند در تئوری کنترل کننده فازی را در تولید نیروی کنترل برای ATMD سازه ^۳ طبقه که در آزمایشگاه ساخته شده بود، مطالعه کرده و نتیجه گرفته اند که عملکرد کنترل کننده منطق فازی به لحاظ مقدار کاهش پاسخ سازه و بیشینه نیروی کنترل فعال تولید شده، مشابه با عملکر LQR است و آنها همچنین از توابع عضویت مثلثی برای متغیرهای رودی و خروجی کنترل کننده فازی استفاده کرده اند. در پژوهش دیگری ^[۲۰] (۸)، نیز یک ATMD بر روی بام و یک جک هیدرولیکی در طبقه ای اول یک سازه ^{۱۵} طبقه قرار داده شد و از منطق فازی به عنوان الگوی کنترل استفاده و عملکرد کنترل کننده فازی با کنترل کننده تئوری

به سازه متصل شده است. نیروی کنترل فعال در جک، یک بار از طریق کنترل کننده FLC (FLC) و باز دیگر از طریق کنترل کننده PSFLC تعیین شده است. معادله حرکت سازه با ATMD، که تحت تحریک زلزله در تراز پایه قرار دارد با رابطه ۱ بیان شده است:

$$[M]\{\ddot{y}\} + [C]\{\dot{y}\} + [K]\{y\} = -[M]\{E\}\ddot{x}_g + [E_f].F \quad (1)$$

که در آن، $\{y\}$ ، $\{\dot{y}\}$ و $\{\ddot{y}\}$ به ترتیب بردارهای شتاب، سرعت، و تغییرمکان طبقات هستند. $\{E\}$ بردار تأثیر نامیده می شود، که یک ماتریس ستونی است و تمامی درایه های آن ۱ است. ماتریس $[E_f]$ موقعیت نیروی کنترل فعال را نشان می دهد. ماتریس های $[M]$ ، $[C]$ و $[K]$ به ترتیب ماتریس های جرم، میرایی و سختی سازه هی ۱۱ طبقه با ATMD هستند. \ddot{x}_g معرف نیروی زلزله است، که از طریق جابه جایی پایه به سازه اعمال می شود.

میرایی دو مد اول سازه، ۵٪ میرایی بحرانی در نظر گرفته شده و بسامد های مدهای اول و دوم سازه به ترتیب ۶,۵۷ و ۱۹,۳۵ رادیان بر ثانیه هستند. به این ترتیب، ماتریس میرایی سازه از روش ریالی محاسبه شده است. میراگر جرمی بر روی مد اول سازه تنظیم و جرم آن ۳٪ جرم کل سازه و با نسبت میرایی ۷٪ انتخاب شده است.^[۱۷] انجمن بین المللی کنترل سازه ها، برای مقایسه عملکرد کنترل کننده های مختلف با یکدیگر تحت نیروهای زلزله، ۴ زلزله ای مرتع را معرفی کرده است. این زلزله ها شامل دو زلزله ای میدان - دور و دو زلزله ای میدان - نزدیک هستند. در این پژوهش زلزله های میدان - دور و زلزله ای میدان - نزدیک Kobe با مقادیر واقعی خود به کار رفته اند، در حالی که زلزله ای میدان - نزدیک Kobe با ۴۰٪ مقدار اصلی خود مقدار واقعی خود و زلزله ای میدان - نزدیک به دلیل داشتن شتاب های بسیار بالا، به کار رفته است.^[۲۲] زلزله های میدان - نزدیک به دلیل داشتن شتاب های بسیار بالا، باعث بروز رفتار غیرخطی در سازه می شوند. کاهشی که در مقادیر اصلی شتاب پایه های زلزله های Kobe و Northridge انجام شده است، به منظور نگهداشتن رفتار سازه در محدوده کشسان است. بیشینه شتاب واقعی برای زلزله های g Northridge، Kobe، Elcentro، Hachinohe با ترتیب g ۰,۲۲۵، ۰,۲۴۱۷، ۰,۳۴۱۷ و ۰,۸۱۷۸ به ترتیب معرفی شده است. برای یک تحلیل آسان و سریع، معادلات تعادل دینامیکی سازه به فرم فضای حالت در آمده و در این فضا حل شده اند.

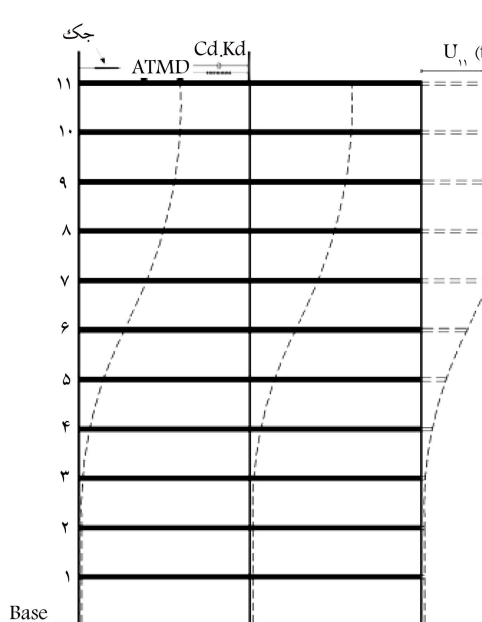
۳. سیستم منطق فازی

تئوری منطق فازی برای اولین بار در سال ۱۹۷۵ معرفی شده است.^[۲۰] منطق فازی از عبارات زبانی برای تولید نیروی کنترل استفاده می کند. مهم ترین تفاوت بین سیستم های فازی و روش های کلاسیک این است که تئوری فازی به هر یک از متغیرهای ورودی و خروجی،تابع عضویتی بین ۰ و ۱ نسبت می دهد، در حالی که روش های کلاسیک، هر متغیر ورودی و خروجی را به صورت ۰ و ۱ می بیند. با این توصیف، تئوری منطق فازی می تواند عدم قطعیت های موجود در سازه و همچنین رفتار غیرخطی احتمالی سازه را مدیریت کند. عدم قطعیت ها به شکل های متفاوتی در سازه ها ظاهر می شوند. بارهای اعمالی به سازه ها، پاسخ های اندازه گیری شده توسط حسگرها و مصالحی که اعضاء سازه از آنها ساخته شده اند، عدم قطعیت دارند. رفتار غیرخطی نیز غالباً به صورت تغییر شکل های بزرگ و یا تشکیل مفاصل خمیری در سازه ها بروز می کند. با کاهش بیشینه شتاب زلزله های میدان - نزدیک و همچنین کاهش تغییر مکان سازه توسط سیستم کنترلی،

فازی معمولی (FLC) مقایسه و نتایج نشان داده است که کنترل کننده FLC تغییر مکان طبقه بام و جذر مجموع مربعات RMS^۷ تغییر مکان بام سازه را ۱۰ الی ۳۰ درصد بیشتر از کنترل کننده FLC کاهش می دهد. این در حالی است که نیروی کنترل بیشینه، در هر دو کنترل کننده اختلاف چندانی با هم ندارند.

۲. مدل سازه بی

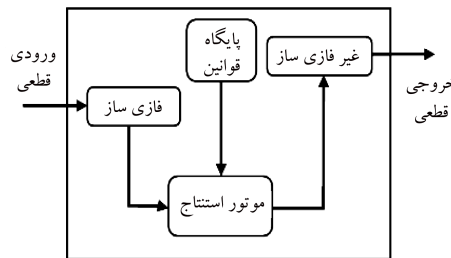
مدل مورد استفاده در این پژوهش، یک ساختمان ۱۱ طبقه است (شکل ۱).^[۱۷] سقف ها کاملاً صلب بوده و برای هر طبقه، یک درجه آزادی انتقالی افقی در نظر گرفته شده است. جرم طبقات نیز در تراز سقف ها متمرکز شده اند. بنابراین ماتریس سختی سازه به صورت برشی و ماتریس جرم به صورت قطری است. مقادیر جرم ها و سختی های طبقات، در جدول ۱ نشان داده شده است. بر روی بام سازه یک میراگر جرمی قرار گرفته است، که با یک جک هیدرولیکی



شکل ۱. مدل سازه بی.

جدول ۱. مقادیر جرم و سختی طبقات.

شماره طبقه (N/m)	سختی (kg)	جرم (kg)
۴,۶۸ + ۰.۸	۲۱۵۳۷۰	۱
۴,۷۶ + ۰.۸	۲۰۱۷۵۰	۲
۴,۶۸ + ۰.۸	۲۰۱۷۵۰	۳
۴,۵۰ + ۰.۸	۲۰۰۹۳۰	۴
۴,۵۰ + ۰.۸	۲۰۰۹۳۰	۵
۴,۵۰ + ۰.۸	۲۰۰۹۳۰	۶
۴,۵۰ + ۰.۸	۲۰۳۱۸۰	۷
۴,۳۷ + ۰.۸	۲۰۲۹۱۰	۸
۴,۳۷ + ۰.۸	۲۰۲۹۱۰	۹
۴,۳۷ + ۰.۸	۱۷۶۱۰۰	۱۰
۳,۱۲ + ۰.۸	۶۶۲۳۰	۱۱



شکل ۲. ساختار یک سیستم فازی.

مانند سایر الگوریتم‌های فراکاوشی، پاسخ بهینه‌ی یک مسئله را با تعداد زیادی تکرار پیدا می‌کند. این الگوریتم سرعت بالاتری در هم‌گرایی دارد و برای رسیدن به پاسخ بهینه به مدت زمان محاسباتی کمتری نسبت به الگوریتم زنگنه‌ی - الگوریتمی که در پیشتر پژوهش‌های پیشین از آن استفاده شده است، [۱۷، ۲۰، ۲۶] نیاز دارد. در PSO برخلاف الگوریتم زنگنه‌ی که در آن کروموزوم‌های (پاسخ‌های) جدید تولید و جایگزین کروموزوم‌های (پاسخ‌های) قدیمی می‌شوند، پرنده‌ی جدیدی (پاسخ جدیدی) تولید نمی‌شود و پرنده‌گان (پاسخ‌ها) حرکت طبیعی خود را به سمت مقصد (پاسخ بهینه) ادامه می‌دهند.

در الگوریتم PSO، هر پاسخ مسئله به صورت یک پرنده (ذره) که یک مقدار و یک سرعت دارد، مشخص شده است. هر پرنده در یک جهت مشخص پرواز می‌کند و پرنده‌ی را که موقعیت بهتری دارد، جستجو می‌کند (بهترین موقعیت فردی هر پرنده). پرنده، سرعت خود را تغییر می‌دهد و از پرنده‌های دیگر سبقت می‌گیرد تا در موقعیت بهتری قرار گیرد. این عمل را تک‌تک پرنده‌گان انجام می‌دهند تا درنهایت، همگی پرنده‌گان (همه‌ی پاسخ‌ها) به مقصد (پاسخ بهینه) برسند. در این عملیات، هر پرنده از تجربه‌ی شخصی خود و تجربه‌ی سایر پرنده‌گان استفاده می‌کند تا به موقعیت مطلوب برسد. مراحل الگوریتم PSO به این شرح است:

گام ۱. در ابتدا N ذره به طور تصادفی تولید می‌شوند. هر ذره موقعیتی در یک فضای d بعدی دارد و d تعداد متغیرهایی است که باید بهینه شوند.

گام ۲.تابع هدف به ازاء هر ذره محاسبه می‌شود. هر ذره وضعیت X_i و سرعت V_i دارد (رابطه‌ی ۳):

$$X_i = (X_{i1}, \dots, X_{id}), \quad V_i = (V_{i1}, \dots, V_{id}) \quad (3)$$

هر ذره موقعیتی دارد که در آن، ذره در بهترین حالت خود قرار گرفته است (P_{Besti}). بهترین موقعیتی که مجموعه‌ی ذرات تاکنون داشته‌اند با (G_{Besti}) نشان داده می‌شود.

گام ۳. موقعیت و سرعت جدید هر ذره برای رسیدن به موقعیت بهتر، با توجه به موقعیت ذره در گام قبل، با استفاده از رابطه‌های ۴ و ۵ بهینگام می‌شود:

$$\begin{aligned} \text{New } V_i &= W.\text{current } V_i + C_1.\text{Rand}_1(P_{Besti} - X_i) \\ &\quad + C_2.\text{Rand}_2.(G_{Besti} - X_i) \end{aligned} \quad (4)$$

$$\text{New position } X_i = \text{Current position } X_i + \text{New } V_i \quad (5)$$

اکنون ذرات موقعیت‌های جدید و سرعت‌های جدید دارند. C_1 و C_2 دو ضریب ثابت هستند، که به ترتیب بیانگر بهترین وضعیت هر ذره و بهترین وضعیت همسایگی‌های ذره هستند. ضریب W نقش متعادل‌کردن بین جستجوی موضعی و جستجوی کلی را دارد، که به طور خطی از $1/4$ تا $5/4$ هستند. Rand_1 و Rand_2 دوتابع مستقل تصادفی در بازه‌ی $[0, 1]$ هستند. V_i نیز در بازه‌ی $[-V_{\max}, V_{\max}]$ تغییر می‌کند.

گام ۴. گام‌های ۲ و ۳، B مرتبه انجام می‌شوند و سپس موقعیت بهترین ذره به دست می‌آید، پارامترهای بهینه‌شده تعیین می‌شوند و فرایند بهینه‌سازی به اتمام می‌رسد.

در این پژوهش پارامترهای الگوریتم PSO به این شرح انتخاب شده‌اند:

$$B = 100; \quad N = 20; \quad d = 6; \quad C_1 = C_2 = 2;$$

$$W = 1; \quad V_{\max} = 2$$

می‌توان از تغییرشکل‌های بزرگ و بروز مقاطع خمیری در سازه تا حد ممکن جلوگیری کرد. به این ترتیب می‌توان این انتظار را داشت که رفتار سازه در حد قابل قبولی خطی باشد. در این پژوهش، کارایی کنترل‌کننده‌ی فازی فقط در بررسی عدم قطعیت‌هایی که ناشی از بارهای ورودی به سازه بوده است، بررسی شده است.

کنترل‌کننده‌ی فازی از ترکیب قوانین اگر - آنگاه، نیروی کنترل را تخمین می‌زنند. یک قانون اگر - آنگاه فازی، از دو بخش مقدم و تالی تشکیل شده است. مثلاً دارای (رابطه‌ی ۲):

$$\text{If } x_1 = A_1 \text{ and } x_2 = A_2 \dots \text{ and } x_i = A_i \text{ Then } y = B \quad (2)$$

که در آن، x_i ها و y به ترتیب متغیرهای ورودی و خروجی، A_i ها و B نیز متغیرهای فازی هستند. برای رسیدن به یک سطح مطلوب از کنترل، مجموعه‌ی از قوانین اگر - آنگاه نیاز است. یک کنترل‌کننده‌ی فازی همان‌طور که در شکل ۲ مشاهده می‌شود، از ۴ قسمت مهم تشکیل شده است:

-- فازی‌ساز: در این قسمت، متغیرهای ورودی اندازه‌گیری شده که اعداد قطعی هستند، به مجموعه‌های فازی نگاشت می‌شوند. با این کار، متغیرها آماده‌ی ورود به قوانین اگر - آنگاه فازی می‌شوند.

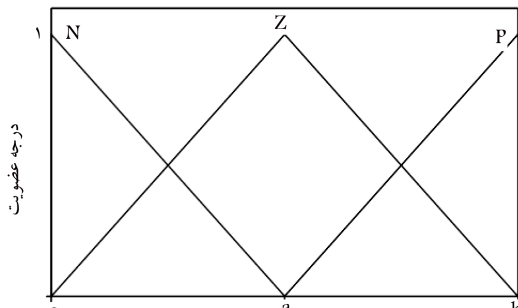
-- قوانین فازی‌ساز: قوانین فازی، مجموعه‌ی از قواعد اگر - آنگاه هستند، که توسط افزار خبره ساخته می‌شوند. با ترکیب این قواعد با یکدیگر می‌توان به سطح مطلوبی از کنترل موردنظر دست یافت.

-- موتور استنتاج: در این بخش که مهم‌ترین قسمت یک کنترل‌کننده‌ی فازی است، قوانین فازی با یکدیگر ترکیب می‌شوند و خروجی که معمولاً نیروی کنترل است، به صورت یک متغیر فازی ارائه می‌شود. معمول ترین موتور استنتاج، که در این پژوهش نیز از آن استفاده شده، موتور استنتاج ممدادی است.

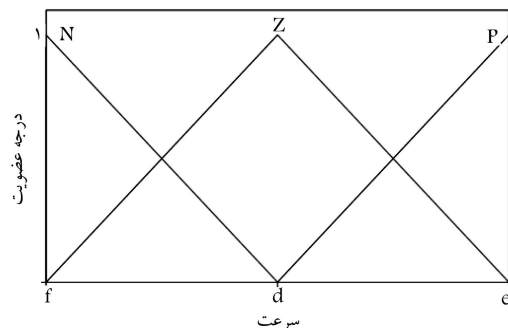
-- غیرفازی‌ساز: بعد از اینکه خروجی موتور استنتاج، به صورت یک متغیر فازی معلوم شد، باید توسط یک غیرفازی‌ساز به متغیر قطعی تبدیل شود. در این پژوهش، از غیرفازی‌ساز میانگین مراکز، برای تبدیل متغیر فازی به متغیر قطعی استفاده شده است.

۴. الگوریتم ازدحام ذرات

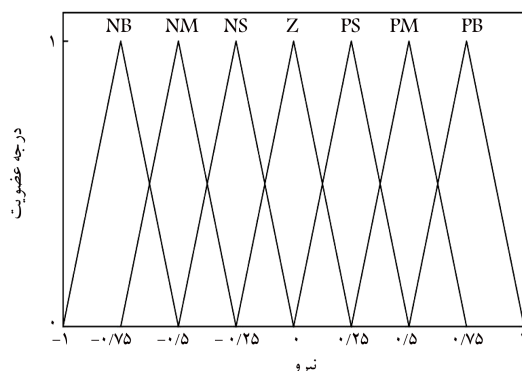
مشکلاتی که در الگوریتم‌های بهینه‌سازی کلاسیک وجود دارد، باعث گسترش کاربرد الگوریتم‌های بهینه‌سازی فراکاوشی شده است. در سال ۱۹۹۵ الگوریتم جدیدی به نام ازدحام ذرات (PSO) ارائه شد، که از حرکت دسته‌جمعی پرنده‌گان که همگی در حال حرکت به یک مقصد نامعلوم هستند، الهام گرفته شده است. [۱۷]



شکل ۴. توابع عضویت ورودی (تغییر مکان).



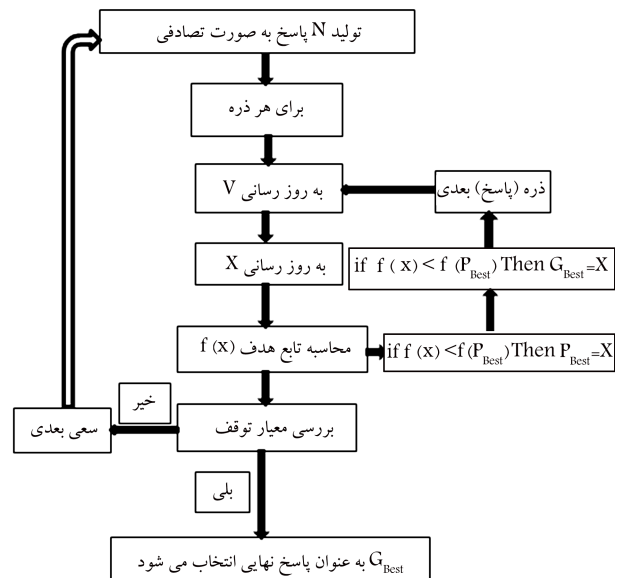
شکل ۵. توابع عضویت ورودی (سرعت).



شکل ۶. توابع عضویت خروجی (نیروی کنترل).

جدول ۲. متغیرهای فازی.

تعریف	تابع عضویت	متغیر
Positive	P	
Zero	Z	ورودی
Negative	N	
Positive Big	PB	
Positive Medium	PM	
Positive Small	PS	
Zero	Z	خروجی
Negative Small	NS	
Negative Medium	NM	
Negative Big	NB	



شکل ۳. ساختار الگوریتم PSO.

فلوچارتی که بیانگر نحوه اجرای الگوریتم PSO است، در شکل ۳ نمایش داده شده است.

در این پژوهش تابع هدف (معیار بهینه‌سازی)، کمینه کردن تغییر مکان با سازه‌ی ۱۱ طبقه تحت تحریک زلزله است. از آنجا که متغیرهای ورودی به کنترل کننده‌ی فازی، نقش بسیار مهمی در تعیین نیروی کنترل دارند و توابع عضویت آن‌ها نیز می‌توانند از انواع مختلفی انتخاب شود، لذا انتخاب صحیح و بهینه‌ی تابع مذکور اهمیت ویژه‌ی دارد. بنابراین، مراکز توابع عضویت متغیرهای ورودی کنترل کننده‌ی فازی (تغییر مکان و سرعت)، به عنوان متغیرهای بهینه‌سازی انتخاب شده‌اند. پس از بدست آوردن مرکز توابع عضویت بهینه‌ی هر زلزله، با استفاده‌ی مجدد از الگوریتم PSO، پارامترهای کنترل کننده‌ی PSFLC، که پارامترهای عمومی نامیده می‌شوند، به دست آمدند.

۵. طراحی کنترل کننده‌ی فازی بهینه‌شده (PSFLC)

در این پژوهش، به منظور طراحی کنترل کننده‌ی PSFLC از یک سازه‌ی واقعی ۱۱ طبقه،^[۱۷] که یک ATMD بر روی بام آن قرار گرفته، استفاده شده است. نیروی کنترل فعال از ترکیب کنترل کننده‌ی منطق فازی و الگوریتم بهینه‌سازی PSO به دست آمده است. کنترل کننده‌ی PSFLC، با استفاده از دو متغیر ورودی تغییر مکان و سرعت با سازه، هر یک با ۳ تابع عضویت مثلثی و یک متغیر خروجی (نیروی کنترل فعال) با ۷ تابع عضویت مثلثی طراحی شده است. این تابع عضویت در بازه‌ی [-۱، ۱] تعریف و به ترتیب در شکل‌های ۴ تا ۶ نشان داده شده‌اند. شرح حروف مخفف نشان داده شده بر روی تابع عضویت، نیز در جدول ۲ ارائه شده است.

در ابتدا با به کارگیری الگوریتم PSO، مراکز بهینه‌ی توابع عضویت متغیرهای ورودی (تغییر مکان و سرعت)، a, b, c, d, e, f و g برای هریک از زلزله‌های Hachinohe، Elcentro و Kobe، Northridge به دست آمده است (جدول ۳). در فرایند بهینه‌سازی، کران پایین و بالای همه‌ی پارامترها به ترتیب ۱ و -۱ است. معیار

جدول ۳. پارامترهای بهینه شده تابع عضویت فازی متغیرهای ورودی برای ۴ زلزله.

<i>c</i>	<i>b</i>	<i>a</i>	زلزله ها				
-۰,۶۰۷۸	<i>c</i> _۱	۰,۲۰۲۰	<i>b</i> _۱	-۱	<i>a</i> _۱	Hachinohe	۱
-۰,۲۶۶۵	<i>c</i> _۲	۰,۸۳۹۶	<i>b</i> _۲	-۱	<i>a</i> _۲	El-Centro	۲
۰	<i>c</i> _۳	۰,۵۴۳۱	<i>b</i> _۳	۰	<i>a</i> _۳	Kobe	۳
-۱	<i>c</i> _۴	۱	<i>b</i> _۴	۰,۲۴۶۱	<i>a</i> _۴	Northridge	۴
<i>f</i>	<i>e</i>	<i>d</i>	زلزله ها				
-۰,۹۶۷۵	<i>f</i> _۱	۱	<i>e</i> _۱	۰,۱۹۸۱	<i>d</i> _۱	Hachinohe	۱
-۰,۴۰۲۷	<i>f</i> _۲	۰,۷۲۸۲	<i>e</i> _۲	۰,۱۱۸۲	<i>d</i> _۲	El-Centro	۲
-۱	<i>f</i> _۳	۰,۶۹۷۳	<i>e</i> _۳	-۰,۱۲۶۵	<i>d</i> _۳	Kobe	۳
-۱	<i>f</i> _۴	۱	<i>e</i> _۴	۰,۲۵۳۲	<i>d</i> _۴	Northridge	۴

جدول ۴. پارامترهای عمومی.

پارامترهای عمومی						
<i>f</i> _g	<i>e</i> _g	<i>d</i> _g	<i>c</i> _g	<i>b</i> _g	<i>a</i> _g	مقدار
-۰,۸۴۲۵	۰,۸۵۶۴	۰,۱۱۰۸	-۰,۴۶۸۶	۰,۶۴۶۲	-۰,۴۸۳۵	

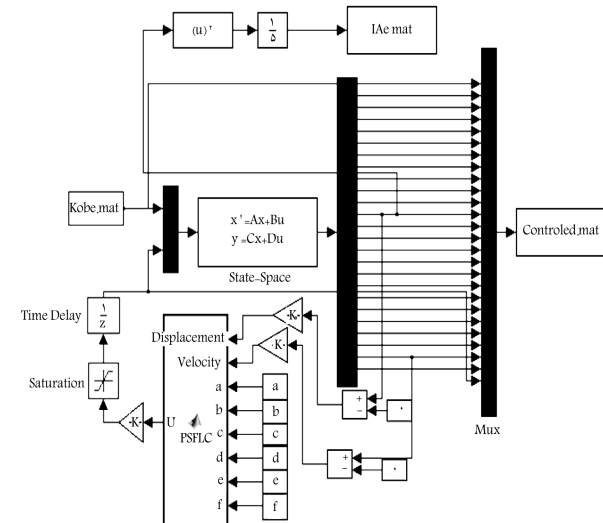
است. به این ترتیب که در رابطه‌ی ۶، پارامترهای *b*_g, *e*_g, *d*_g, *c*_g, *f*_g و *a*_g به نوبت جایگزین *a*_g و همچنین به جای پارامتر *a*_g به نوبت سایر پارامترهای *b*_i, *c*_i, *d*_i, *e*_i و *f*_i جایگزین شده‌اند. به این ترتیب پارامترهای عمومی کنترلکننده‌ی PSFLC به دست آمده‌اند، که در جدول ۴ نشان داده شده است.

۶. بررسی عملکرد کنترلکننده‌ی PSFLC

برای بررسی عملکرد کنترلکننده‌ی PSFLC، که در قسمت قبل طراحی شده است، از زلزله‌های متفاوت میدان - دور و میدان - نزدیک استفاده شده است. خصوصیات این زلزله‌ها، که هر یک محتوا بسامدی و زمان بازگذاری متفاوت و شتاب‌های بیشینه‌ی مختلفی دارند، در جدول ۵ نشان داده شده است.

از آنجایی که پایداری یک سازه معمولاً به بیشینه‌ی تغییرمکان آن که در بام است، مربوط می‌شود؛ از این معیار و RMS تغییرمکان بام برای بررسی توانایی کنترلکننده‌ی PSFLC و مقابله‌ی عملکرد آن با کنترلکننده FLC در کاهش پاسخ سازه استفاده شده است. تغییرمکان بام و RMS تغییرمکان بام در سازه‌ی ۱۱ طبقه، برای کنترلکننده‌های PSFLC و FLC به همراه درصد کاهش آنها نسبت به سازه‌ی کنترل شده، برای زلزله‌های مختلف محاسبه و به ترتیب در جدول‌های ۶ و ۷ نشان داده شده است. لازم به ذکر است کنترلکننده‌ی FLC بهینه نیست و دارای توابع عضویتی با مرکز ۱، ۰ و -۱، برای توابع عضویت تغییرمکان و سرعت است.

همان‌طور در جدول ۶ مشاهده می‌شود، کنترلکننده‌ی FLC تغییرمکان بام سازه را در حدود ۲۳٪ برای زلزله‌ی Kern-County و در حدود ۵۲٪ برای زلزله‌ی Chi-Chi کاهش می‌دهد، این در حالی است که کنترلکننده‌ی PSFLC تغییرمکان بام را برای زلزله‌های Chi-Chi و Kern-County به ترتیب در حدود ۳۷ و ۶۲ درصد کاهش می‌دهد. همچنین، کنترلکننده‌ی PSFLC تغییرمکان بام سازه را برای زلزله‌های Landers و Coalinga به ترتیب در حدود ۵۷ و ۴۱ درصد کاهش می‌دهد. این مقادیر کاهش برای کنترلکننده‌ی FLC برای زلزله‌های مذکور به ترتیب ۴۶ و ۱۳ درصد است. این نتایج نشان می‌دهند که کنترلکننده‌ی PSFLC بیشینه‌ی تغییرمکان سازه را در حدود ۱۰٪ بیشتر از کنترلکننده‌ی FLC برای زلزله‌های Chi-Coalinga و Chi کاهش می‌دهد. همچنین، کنترلکننده‌ی PSFLC تغییرمکان



شکل ۷. شبیه‌سازی مدل معرفی شده با نرم افزار Matlab.

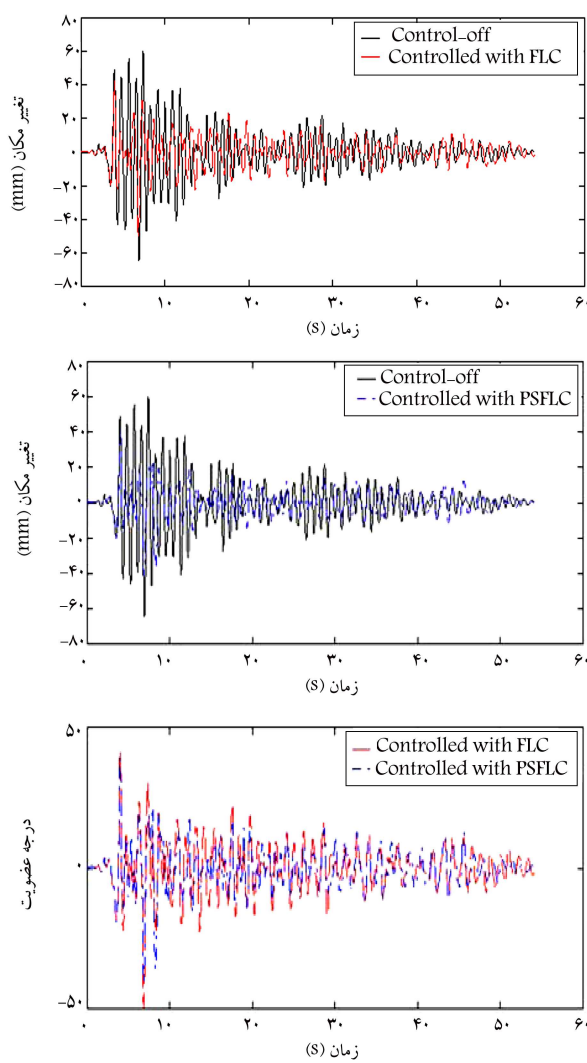
بهینه‌سازی نیز کمینه کردن تغییرمکان بام سازه است. کلیه‌ی شبیه‌سازی‌ها با نرم افزار Matlab انجام شده است (شکل ۷). پس از محاسبه‌ی پارامترهای بهینه برای هر یک از زلزله‌ها، باید پارامترهای عمومی کنترلکننده‌ی PSFLC محاسبه شوند. پارامترهای کنترلکننده‌ی PSFLC، *a*_g, *b*_g, *c*_g, *d*_g, *e*_g و *f*_g (پارامترهای عمومی) نشان داده شده و برای محاسبه‌ی آنها، مجدداً از الگوریتم PSO استفاده شده است. با بهکاربردن الگوریتم PSO خطأ برای هر یک از پارامترهای عمومی، کمینه شده است. به عنوان مثال، پارامتر *a*_g با رابطه‌ی ۶ محاسبه شده است:

$$E(a_g) = \left[\frac{1}{N} \sum_{i=1}^N (a_g - a_i) \right]^{0.5} \quad (6)$$

که در آن، *N* تعداد زلزله بوده که برابر با ۴ است. *a*_i پارامتر بهینه شده‌ی *a*_g برای زلزله‌ی *i* و *a*_g پارامتر عمومی کنترلکننده‌ی PSFLC است. رابطه‌ی ۶ به طریق مشابه برای محاسبه‌ی سایر پارامترهای عمومی *b*_g, *c*_g, *d*_g, *e*_g و *f*_g بهکار رفته

جدول ۵. مشخصات زلزله‌ها.

شماره	نام زلزله	نوع زلزله	ایستگاه	مدت زمان (ثانیه)	بیشینه‌ی شتاب (g)
۱	Kern-County	میدان - دور	۱۰۹۵ Taft Lincoln School	۵۴/۱۵	۰/۱۷۸
۲	Chi-Chi	میدان - دور	CHY۱۰۱	۸۹/۹۵	۰/۳۵۳
۳	Landers	میدان - نزدیک	۲۴ Lucerne	۴۸/۱۲	۰/۷۸۵
۴	Coalinga	میدان - نزدیک	۱۶۵۱ Transmitter Hill	۲۱/۷۵	۰/۸۴



شکل ۸. مقایسه‌ی تاریخچه‌ی زمانی تغییرمکان بام سازه برای حالت‌های مختلف سازه‌ی کنترل نشده و سازه‌ی کنترل شده با کنترل‌کننده‌های FLC و PSFLC برای زلزله‌ی Kern-County.

قابل ملاحظه‌ی کاهش یافته است. RMS تغییرمکان بام، بیانگر مقدار متوسط تغییرمکان بام سازه در مدت زمان اعمال بارگذاری است، که مقادیر آن برای زلزله‌های مختلف در جدول ۷ ارائه شده است. مقدار کاهش RMS تغییرمکان بام، برای کنترل‌کننده‌ی FLC نسبت به سازه‌ی کنترل نشده برای زلزله‌های Coalinga، Chi-Chi، Kern-County و Landers به ترتیب: ۳۸، ۳۶، ۳۵ و ۹ درصد است. این مقادیر کاهش برای کنترل‌کننده‌ی PSFLC برای زلزله‌های ذکر شده به

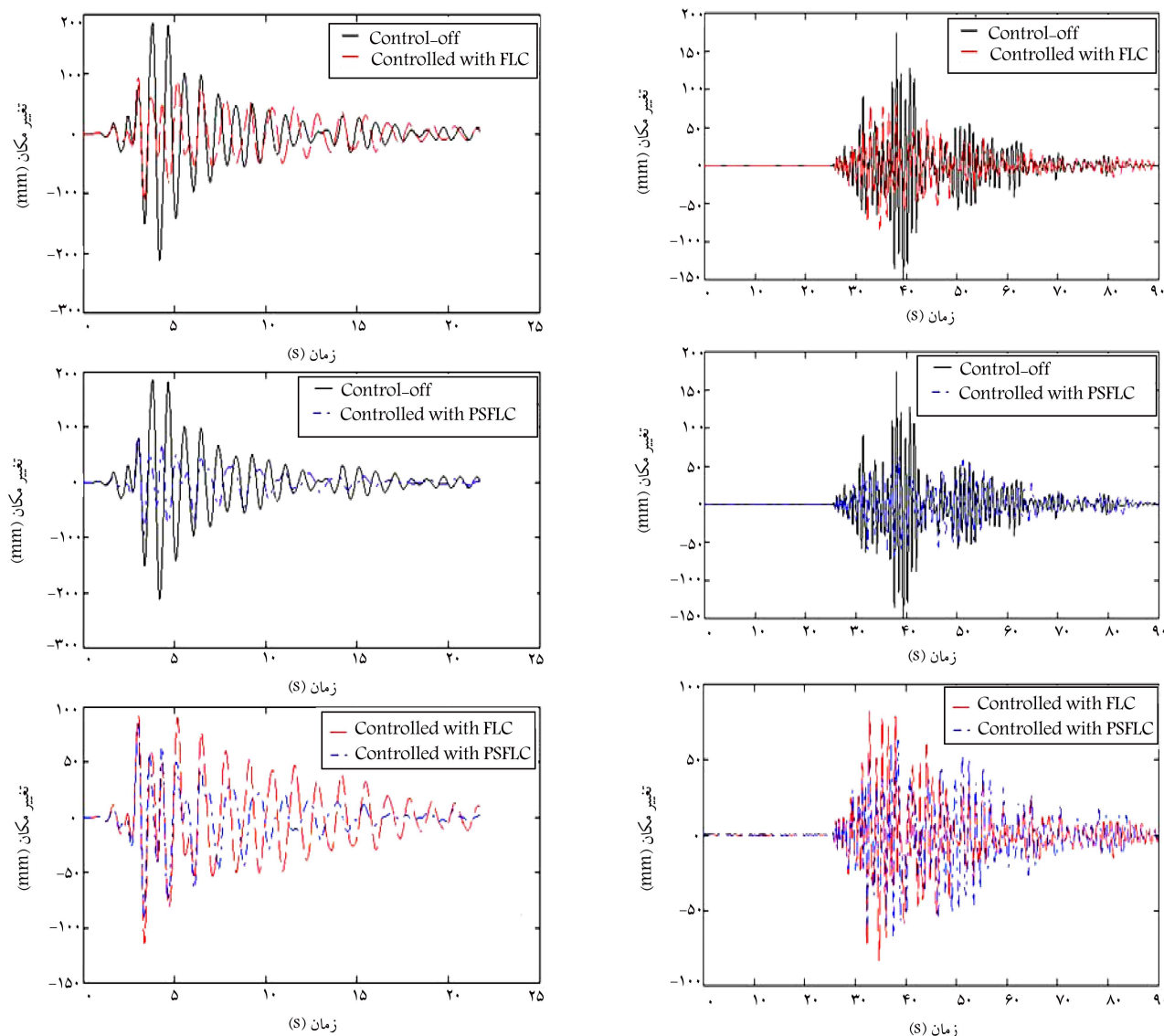
جدول ۶. تغییرمکان بام سازه به همراه درصد کاهش آنها برای کنترل‌کننده‌های FLC و PSFLC.

زلزله	تغییرمکان بام سازه (میلیمتر)		کاهش پاسخ		
	پاسخ سازه‌ی کنترل شده (%)	پاسخ سازه‌ی کنترل نشده (%)	پاسخ سازه‌ی کنترل شده (%)	پاسخ سازه‌ی کنترل نشده (%)	
PSFLC	FLC	PSFLC	FLC	PSFLC	
Kern-County	۳۷	۲۳	۴۱	۵۰	۶۵
Chi-Chi	۶۲	۵۲	۶۸	۸۴	۱۷۵
Coalinga	۵۷	۴۶	۹۲	۱۱۵	۲۱۳
Landers	۴۱	۱۳	۴۴	۶۵	۷۵

جدول ۷. RMS تغییرمکان بام سازه به همراه درصد کاهش آنها برای کنترل‌کننده‌های PSFLC و FLC.

زلزله	RMS تغییرمکان بام سازه (میلیمتر)		کاهش پاسخ		
	پاسخ سازه‌ی کنترل شده (%)	پاسخ سازه‌ی کنترل نشده (%)	پاسخ سازه‌ی کنترل شده (%)	پاسخ سازه‌ی کنترل نشده (%)	
PSFLC	FLC	PSFLC	FLC	PSFLC	
Kern-County	۴۶	۳۸	۷/۶	۸/۷	۱۴
Chi-Chi	۳۷	۳۶	۱۶/۸	۱۷	۲۷
Coalinga	۵۶	۳۵	۲۱	۳۱	۴۸
Landers	۱۸	۹	۹	۱۰	۱۱

بام را به ترتیب در حدود ۱۵ و ۲۷ درصد بیشتر از کنترل‌کننده‌ی FLC برای زلزله‌های Kern-County و Chi-Chi کاهش می‌دهد. شکل‌های ۸ الی ۱۱ طبقه را برای حالت‌های مختلف سازه‌ی کنترل نشده^۸ و سازه‌ی کنترل شده با کنترل‌کننده‌های FLC و PSFLC برای هر یک از زلزله‌های Kern-County، Chi-Chi، Coalinga و Landers به ترتیب نشان می‌دهد. در هر یک از شکل‌ها، ابتدا پاسخ سازه‌ی کنترل نشده با پاسخ سازه‌ی کنترل شده با کنترل‌کننده‌ی FLC مقایسه شده است. سپس در شکل دوم، پاسخ سازه‌ی کنترل نشده با پاسخ سازه‌ی کنترل شده با کنترل‌کننده‌ی PSFLC مقایسه و در شکل سوم پاسخ‌های سازه‌ی کنترل شده با کنترل‌کننده‌های FLC و PSFLC با PSFLC مقایسه شده است. یکدیگر مقایسه شده است. با توجه به شکل‌های ۸ الی ۱۱ مشاهده می‌شود که تغییرمکان بام سازه برای هر دو کنترل‌کننده‌ی FLC و PSFLC در مدت زمان اعمال زلزله، به طور



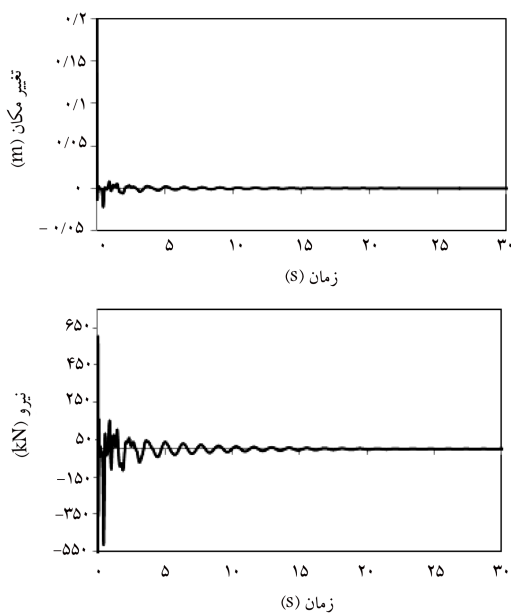
شکل ۹. مقایسه‌ی تاریخچه‌ی زمانی تغییرمکان بام سازه برای حالت‌های مختلف سازه‌ی کنترل نشده و سازه‌ی کنترل شده با کنترل‌کننده‌های FLC و PSFLC برای زلزله‌ی Coalinga .Chi-Chi

در جدول ۸، بیشینه‌ی نیروی کنترل تولید شده توسط دو کنترل‌کننده PSFLC و FLC نشان داده شده است. نیروهای کنترل تولید شده در تمامی زلزله‌ها به جز زلزله‌ی Kern-County، اختلاف چندانی با هم ندارند. این مسئله نشان می‌دهد که با بهینه‌کردن توابع عضویت فازی، با صرف نیروی کنترل نه چندان زیادتر، می‌توان بیشینه‌ی تغییرمکان سازه را بیشتر کاهش داد.

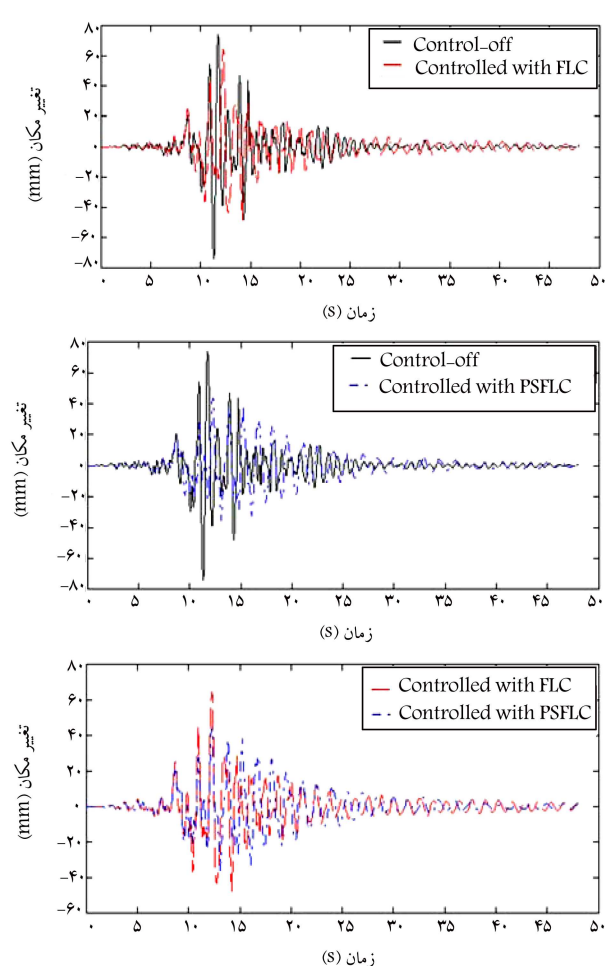
۷. پایداری کنترل‌کننده‌ی PSFLC

از آنجایی که کنترل‌کننده PSFLC دارای مدل ریاضی نمی‌باشد، مهم‌ترین مسئله، ناپایداری احتمالی آن است. پایداری کنترل‌کننده‌های فازی به روش‌های مختلفی بررسی می‌شوند. یکی از معروف‌ترین روش‌های ذکر شده، ایجاد یک تغییرمکان اولیه در سازه است. پس از ایجاد این ارتعاش اولیه بررسی می‌شود که آیا کنترل‌کننده‌ی

ترتیب: ۴۶، ۳۷، ۵۶ و ۱۸ درصد است. نتایج بیان گر آن است که کنترل‌کننده PSFLC، RMS تغییرمکان بام را بسیار بهتر از کنترل‌کننده FLC کاهش می‌دهد، به طوری که در بهترین حالت در زلزله‌ی Coalinga، کنترل‌کننده PSFLC RMS تغییرمکان بام را ۲۱٪ بیشتر از کنترل‌کننده FLC کاهش داده و در بدترین حالت در زلزله‌ی Landers، مقدار کاهش RMS تغییرمکان بام برای هر دو کنترل‌کننده PSFLC و FLC تقریباً یکسان است. این نکته نیز قابل توجه است که هر چه تغییرمکان بام و آن کمتر شود، سازه پایدارتر خواهد بود. این تذکر لازم است که به دلیل اینکه کنترل‌کننده PSFLC، حالت بهینه‌ی کنترل‌کننده FLC است؛ ملاحظه می‌شود که همواره عملکرد بهتری نسبت به کنترل‌کننده FLC دارد. در همه‌ی حالات، کاهش پاسخ تغییرمکان بام و RMS تغییرمکان بام در کنترل‌کننده PSFLC بیشتر از کنترل‌کننده FLC است.



شکل ۱۲. پایداری کنترل‌کننده‌ی PSFLC در قالب کاهش تغییرمکان و نیروی کنترل فعال.



شکل ۱۱. مقایسه‌ی تاریخچه‌ی زمانی تغییرمکان بام سازه برای حالت‌های مختلف سازه‌ی کنترل نشده و سازه‌ی کنترل شده با کنترل‌کننده‌های FLC و PSFLC برای زلزله‌ی Landers.

جدول ۸. بیشینه‌ی نیروی کنترل.

زلزله‌ها	بیشینه‌ی نیروی کنترل (kN)	
	PSFLC	FLC
Kern-County	۲۳۵	۲۲۵
Chi-Chi	۱۱۰	۹۱۰
Landers	۱۱۸۹	۹۸۱
Coalinga	۲۰۰	۱۸۲۰

PSFLC توانایی برگرداندن سازه به حالت اولیه‌ی خود را دارد یا خیر؟ در صورتی که کنترل‌کننده‌ی PSFLC بتواند سازه را به موقعیت اولیه‌ی خود (حالت استراحت) برگرداند، پایدار است.

در این پژوهش در بام سازه‌ی ۱۱ طبقه، تغییرمکان اولیه‌ی ۲۰۰ میلی‌متر ایجاد شده است. شکل ۱۲، پایداری کنترل‌کننده‌ی PSFLC را در قالب تغییرمکان بام سازه و نیروی کنترل فعال تولیدشده نشان می‌دهد. با توجه شکل ۱۲ مشاهده می‌شود، که کنترل‌کننده‌ی PSFLC در مدت زمان بسیار کوتاهی، سازه را به موقعیت اولیه‌ی خود بر می‌گرداند و این نشان‌دهنده‌ی پایدار بودن کنترل‌کننده‌ی PSFLC است.

۱. کنترل‌کننده‌ی PSFLC بیشینه‌ی تغییرمکان سازه را در حدود تقریباً ۱۰ الی ۳۰ درصد بیشتر از کنترل‌کننده‌ی FLC کاهش داده است.
۲. کنترل‌کننده‌ی PSFLC RMS تغییرمکان بام سازه را در همه‌ی زلزله‌ها به جز زلزله‌ی Landers، در حدود تقریباً ۱۰ الی ۲۰ درصد بیشتر از کنترل‌کننده‌ی FLC کاهش داده است.
۳. الگوریتم PSO یک ابزار قوی برای بهینه‌سازی است، به طوری که می‌تواند پارامترهای زیادی را هم زمان با هم بهینه سازد.

پانوشت‌ها

1. Tuned Mass damper
2. Active Tuned Mass damper
3. linear quadratic regulator
4. linear quadratic Gavssian
5. proportional Derivative
6. Inrevl Type 2 Fuzzy logic Controller
7. Root mean square
8. control-off

منابع (References)

1. Den Hartog, J.P., *Mechanical Vibrations*, 4th Edition ed., New York, McGraw-Hill (1956).
2. Kaynia, A.M., Bigges, J.M. and Veneziano, D. "Seismic effectiveness of tuned mass dampers", *Structural Division*, **107**(8), pp. 1468-1484 (1981).
3. Warburton, G.B. "Optimum absorber parameters for various combinations of response and excitation parameters", *Earthquake Engineering & Structural Dynamics*, **10**(3), pp. 381-40 (1982).
4. Sadek, F., Mohraz, B., Taylor, A.W. and Chung, R.M. "A method of estimating the parameters of tuned mass dampers for seismic applications", *Earthquake Engineering & Structural Dynamics*, **26**(6), pp. 617-635 (1997).
5. Bakre, S.V. and Jangid, R.S. "Optimum parameters of tuned mass damper for damped main system", *Structural Control and Health Monitoring*, **14**(3), pp. 448-470 (2007).
6. Mohebbi, M. and Joghataie, A. "Designing optimal tuned mass dampers for nonlinear frames by distributed genetic algorithms", *The Structural Design of Tall and Special Buildings*, **21**(1), pp. 57-76 (2012).
7. Bekdaş, G. and Nigdeli, S.M. "Estimating optimum parameters of tuned mass dampers using harmony search", *Engineering Structures*, **33**(9), pp. 2716-2723 (2011).
8. Leung, A.Y.T. and Zhang, H. "Particle swarm optimization of tuned mass dampers", *Engineering Structures*, **31**(3), pp. 715-728 (2009).
9. Morison, J. and Karnopp, D. "Comparison of optimized active and passive vibration absorbers", *In Joint Automatic Control Conference*, 14th, Columbus, Ohio (1973).
10. Lund, R. A. "Active damping of large structures in winds", IUTAM (1979).
11. Chang, J.C.H. and Soong, T.T. "Structural control using active tuned mass dampers", *Engineering Mechanics Division*, **106**(6), pp. 1091-1098 (1980).
12. Kobori, T., Koshika, N., Yamada, K. and Ikeda, Y. "Seismic-response-controlled structure with active mass driver system. Part 1: Design", *Earthquake Engineering & Structural Dynamics*, **20**(2), pp. 133-149 (1991).
13. Kobori, T., Koshika, N., Yamada, K. and Ikeda, Y. "Seismic-response-controlled structure with active mass driver system. Part 2: Verification", *Earthquake Engineering & Structural Dynamics*, **20**(2), pp. 151-166 (1991).
14. Nishimura, I., Kobori, T., Sakamoto, M., Koshika, N., Sasaki K. and Ohrui, S. "Active tuned mass damper", *Smart Materials and Structures*, **1**(4), p. 306 (1992).
15. Ankireddi, S. and Yang, H.Y. "Simple ATMD control methodology for tall buildings subject to wind loads", *Structural Engineering*, **122**(1), pp. 83-91 (1996).
16. Cao, H. and Li, Q.S. "New control strategies for active tuned mass damper systems", *Computers & Structures*, **82**(27), pp. 2341-2350 (2004).
17. Pourzeynali, S., Lavasani, H.H. and Modarayi, A.H. "Active control of high rise building structures using fuzzy logic and genetic algorithms", *Engineering Structures*, **29**(3), pp. 346-357 (2007).
18. Battaini, M., Casciati, F. and Faravelli, L. "Fuzzy control of structural vibration. An active mass system driven by a fuzzy controller", *Earthquake Engineering & Structural Dynamics*, **27**(11), pp. 1267-1276 (1998).
19. Guclu, R. and Yazici, H. "Vibration control of a structure with ATMD against earthquake using fuzzy logic controllers", *Sound and Vibration*, **318**(1-2), pp. 36-49 (2008).
20. Zadeh, L.A. "The concept of a linguistic variable and its application to approximate reasoning", *I. Information Sciences*, **8**(3), pp. 199-249 (1975).
21. Samali, B. and et al. "Active control of cross wind response of 76-story tall building using a fuzzy controller", *Engineering Mechanics*, **130**(4), pp. 492-498 (2004).
22. Samali, B. and Al-Dawod, M. "Performance of a five-storey benchmark model using an active tuned mass damper and a fuzzy controller", *Engineering Structures*, **25**(13), pp. 1597-1610 (2003).
23. Shariatmadar, H. and Golnargesi, S. "Structural control with active tuned mass damper by type 2 fuzzy logic controller for seismic excitations", *Sharif Journal of Civil Engineering* (Accepted for publication), (2013) (In Persian).
24. Shariatmadar, H., Golnargesi, S. and Akbarzadeh Totonchi, M.R. "Vibration control of buildings using atmd against earthquake excitations through interval type-2 fuzzy logic controller", *Asian Journal of Civil Engineering (Bhrc)*, **15**(3), pp. 321-338 (2014).
25. Aly, M.A. "Vibration control of high-rise buildings for wind: A robust passive and active tuned mass damper", *Smart Structures and Systems*, **13**(3), pp. 473-500 (2014).
26. Ahlawat, A. and Ramaswamy, A. "Multiobjective optimal fuzzy logic control system for response control of wind-excited tall buildings", *Engineering Mechanics*, **130**(4), pp. 524-530 (2004).
27. Kennedy, J. and Eberhart, R. "Particle swarm optimization", *In Proceedings of the IEEE International Conference on Neural Networks*, **4**, pp. 1942-1948 (1995).
28. Ahlawat, A.S. and Ramaswamy, A. "Multi-objective optimal design of FLC driven hybrid mass damper for seismically excited structures", *Earthquake Engineering & Structural Dynamics*, **31**(7), pp. 1459-1479 (2002).